

КИНЕТИКА СОРБЦИИ И ДИФФУЗИЯ ВОДЫ В ПОЛИАМИДАХ

Андранинова Г. П., Чалых А. Е., Лебедева В. Н.

Полиамиды относятся к числу гидрофильных высокомолекулярных соединений [1, 2]. Принято считать, что по своим сорбционно-диффузионным свойствам они занимают промежуточное положение между полипептидами и полиолефинами [2, 3]. Однако широко распространенные в настоящее время качественные суждения о гидрофильности полиамидов и связанные с ними представления о возможных сферах применения в технологии искусственных кож, защитных покрытий, оболочек, медицине и т. п. настоятельно требуют детального всестороннего анализа и изучения процессов взаимодействия воды с полимерами этого класса. Цель данной работы — систематическое исследование сорбционных и диффузионных характеристик полиамидов различного строения по отношению к воде в широком интервале температур и активностей паров сорбата.

В качестве объектов исследования были использованы: поли- ϵ -капронамид (ПА-6), поли- ω -додеканамид (ПА-12), сополимер ϵ -капролактама 44% и солей АГ — 37% и СГ — 19% (ПА-548). Все исследования проводили на пленках толщиной 80 и 120 мкм. Пленки ПА-6 и ПА-12 получали из расплавов при 215 и 175° и давлении 50 и 70 атм соответственно. Образцы охлаждали в прессе при том же давлении до комнатной температуры. Пленки ПА-548 получали методом формования из 20%-ного раствора поликарбамата в 80%-ном водном растворе этанола на горячую стеклянную подложку. После удаления растворителя пленки сушили при 80° в течение 1 часа. Все образцы кондиционировали, выдерживая их в экскаторе с 98%-ной H_2SO_4 при комнатной температуре. Остаточное содержание воды в образцах полиамидов не превышало 0,02%. Характеристики исследованных полиамидов приведены в табл. 1.

Таблица 1
Характеристики образцов полиамидов

Полимер	Плотность, $\rho/\text{см}^3, 20^\circ$	Степень кристалличности, %	$T_{\text{пл}}, ^\circ\text{C}$	Температура перехода, $^\circ\text{C}$	Доля групп $\text{NH}-\text{CO}$, вес. %
ПА-6	1,161	56	225	57	38,0
ПА-548	1,117	18	155	55	36,5
ПА-12	1,020	24	178	47	21,8

Кинетику сорбции и десорбции паров воды изучали на вакуумных весах Мак-Бена с кварцевой спиралью чувствительности 0,7–1,0 мг/мм. Измерения проводили в интервале активностей паров воды от 0,08 до 0,97 ($a_1 = p/p_s$, где p и p_s — парциальное давление пара в среде, окружающей образец, и давление насыщенного пара при температуре эксперимента) в диапазоне температур от 20 до 60°. Использовали интервальную и интегральную методики проведения измерений [4–6].

Экспериментальные данные по кинетике изменения массы образцов представляли в виде зависимостей относительного привеса (убыли веса) $\gamma = M_t/M_\infty$ от времени. Здесь M_t — количество вещества, сорбированное (десорбированное) образцом толщиной l за время t ; M_∞ — предельное значение M_t при $t \rightarrow \infty$. За M_∞ принимали величину M_t , которая соответствовала сорбционному равновесию в системе при данных условиях a_1 и T . Коэффициенты диффузии D рассчитывали, используя в случае $\gamma < 0,6$ больцмановское решение уравнения Фика

$$\gamma = \frac{4}{\pi^{1/2}} \left(\frac{Dt}{l^2} \right)^{1/2}, \quad (1)$$

в случае $\gamma > 0,5$ — уравнение

$$\ln(1-\gamma) = \ln \frac{8}{\pi^2} - \frac{D\pi^2 t}{l^2} \quad (2)$$

В первом случае экспериментальные данные для расчетов представляли в координатах $\gamma - t^{1/2}$, во втором — $\ln(1-\gamma) - t$. В работе использованы средние значения коэффициентов диффузии $D = (D_s + D_d)/2$, где D_s и D_d коэффициенты диффузии, рассчитанные по кривым сорбции и десорбции соответственно.

Типичные кинетические кривые сорбции паров воды полиамидаами представлены на рис. 1. Для всех полиамидов в исследованном интервале a_1 имеет место фиксовская сорбция — десорбция: зависимость $\gamma - t$, представленная в координатах уравнений (1) и (2), линейна; D , рассчитанные при разных степенях заполнения образцов парами сорбата, равны между собой. Несовпадение сорбционных и десорбционных кривых свидетельствует о концентрационной зависимости D . При этом, если для ПА-6, ПА-548 и ПА-12 при $a_1 < 0,6$ наблюдается замедленная десорбция, то для ПА-12 при $a_1 > 0,6$ сорбционная и десорбционная кривые меняются местами. Этот эффект, как показано в [4], обусловлен различным характером концентрационной зависимости D : для ПА-6 и ПА-548 — возрастанием D с увеличением a_1 , для ПА-12 при $a_1 > 0,6$ — уменьшением.

Концентрационные зависимости коэффициентов диффузии воды и значения $D_{c=0}$ экстраполированные к $\phi_1 \rightarrow 0$ по уравнению $D = D_{c=0} e^{\alpha \phi_1}$, где ϕ_1 — объемная доля сорбата, α — постоянная, из области $\phi_1 < 0,02$, представлены на рис. 2 и в табл. 2.

Таблица 2

Коэффициенты диффузии $D_{c=0}$ воды в полиамидах

Полимер	$T, ^\circ\text{C}$	$D_{c=0} \cdot 10^4, \text{ см}^2/\text{сек}$	$E, \text{ ккал/моль}$	
			$T < T_c$	$T > T_c$
ПА-548	25	1,0	15,1	27,5
	60	18,0	—	—
ПА-6	25	0,38	20,0	—
	60	11,0	—	—
ПА-12	25	2,7	14,0	17,0
	60	48,0	—	—

Можно видеть, что химическая природа полиамидов и их кристаллическая структура оказывают определяющее влияние на характер концентрационной зависимости коэффициентов диффузии воды. Наиболее слабо она выражена для наименее гидрофильного и кристаллического ПА-12. Следует отметить, что D в ПА-12 несколько уменьшается с увеличением содержания воды. В случае ПА-6 имеет место существенное увеличение D с ростом концентрации сорбата. Заметим, что для этой системы $D_{c=0} \ll D_{c=0}$ для ПА-12, но уже при небольшом содержании воды значения D для ПА-6 оказываются более высокими, чем для ПА-12. Для ПА-548 коэффициент диффузии воды также существенно возрастает с увеличением концентрации сорбата в системе. Однако характер зависимости иной — в полулогарифмических координатах (рис. 2, в) концентрационная зависимость принимает вид двух ломаных прямых с разными углами наклона $\alpha_1 = 0,37$ и $\alpha_2 = 1,7$ при $c_1 < 3,3 \text{ г}/100 \text{ г}$ полиамида и $c_1 > 3,3 \text{ г}/100 \text{ г}$ полиамида для 30° . Точка пересечения прямых соответствует положению α -перехода в системе, и при повышении температуры ее положение смещается в сторону меньших концентраций сорбата.

Определяющую роль в диффузионных и сорбционных характеристиках полиамидов играет содержание $\text{NH}-\text{CO}$ -групп в макромолекулах. Действительно, чем больше содержание амидных групп, тем ниже значение D (рис. 3). Интересно отметить, что между $D_{c=0}$ и концентрацией групп $\text{NH}-\text{CO}$ в первом приближении имеет место линейная зависимость в координатах уравнения

$$D_{c=0} = D_0 \exp(-\beta c), \quad (3)$$

где D_0 — коэффициент диффузии воды в полиэтилене, β — постоянная, равная 0,6 при 25°. Очевидным объяснением этого эффекта является возрастание кинетической жесткости цепей полимера по мере увеличения содержания групп NH—CO, поскольку их присутствие приводит к интенсивному образованию межмолекулярных водородных связей. Сетка этих связей тем плотнее, а вызванное ею ограничение молекулярной подвижности тем

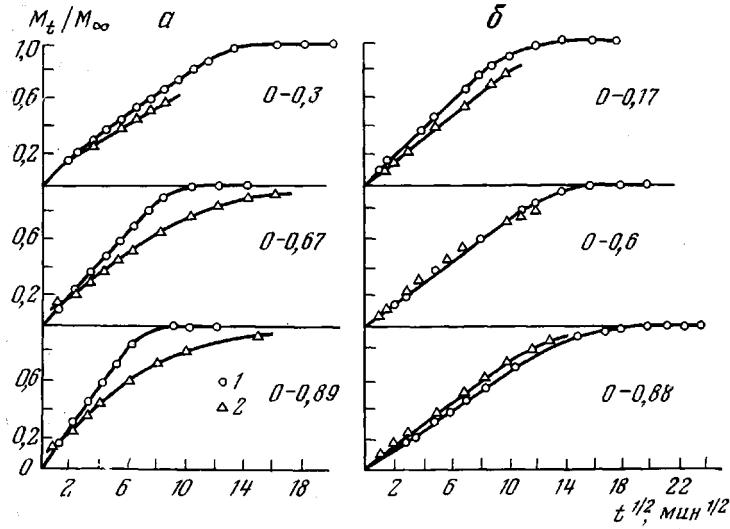


Рис. 1. Кинетические кривые интегральной сорбции (1) и десорбции (2) паров воды полиамидами: а — ПА-548, б — ПА-12 при 25°. На рисунке указаны интервалы изменения относительного давления пара

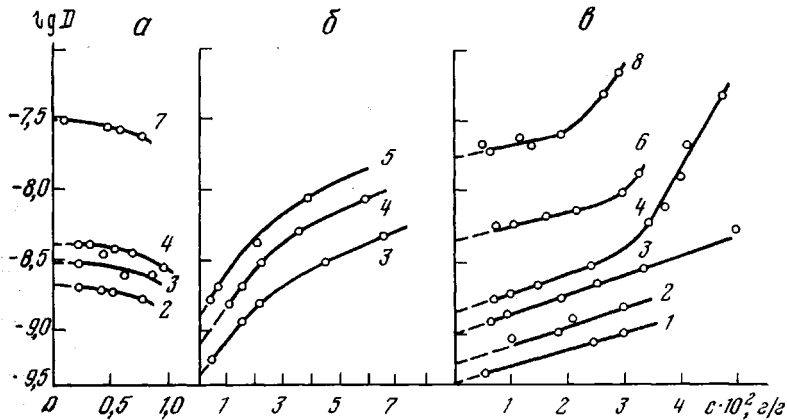


Рис. 2. Зависимости D ($\text{см}^2/\text{сек}$) от концентрации сорбированной воды в полиамидах:

а — ПА-12, б — ПА-6, в — ПА-548. Температура процессов: 1 — 15, 2 — 20, 3 — 25, 4 — 30, 5 — 35, 6 — 45, 7 — 55, 8 — 60°

сильнее, чем большее относительное содержание амидных групп в цепи. Разброс значений $D_{c=0}$ связан, по-видимому, с различной степенью кристалличности сравниваемых полимерных матриц (табл. 1).

Температурная зависимость D в полиамидах при различном содержании сорбата представлена на рис. 4. Поскольку в работах [7, 8] имеются данные по изменению D с T для ПА-6 и ПА-12, в целом совпадающие с полученными нами, основное внимание было уделено температурной зависимости D ранее не исследованного ПА-548. Можно видеть, что если для ПА-12 сорбированная влага не оказывает сколько-нибудь значительного влияния на характер зависимости D от T , то для ПА-548 это влияние

велико. Как правило, для пластифицированного водой ПА-548 температурная зависимость D в координатах уравнения Арениуса представляет собой две взаимно пересекающиеся прямые, каждая из которых характеризуется своим значением энергии активации E . Точка пересечения прямых соответствует положению α -перехода в системе и сдвигается в сторону более низких температур при увеличении содержания влаги в полимере. Для всех исследованных образцов E при $T < T_c$ меньше, чем при $T > T_c$. Такое поведение E (табл. 2) представляется не вполне тривиальным эффектом. Видимо, он может быть связан с тем, что в области температур

Рис. 3. Зависимость $D_{c=0}$ от содержания амидных групп в макромолекулах полiamидов при 25°

Рис. 4. Температурная зависимость коэффициентов диффузии воды в ПА-12 (а) и ПА-548 (б)

Содержание сорбата: а: 1 - 0; 2 - 0,5;
 $\delta \approx 1\%$; б: 1 - 0; 2 - 1; 3 - 2; 4 - 3;
 $\delta = 4$; 6 - 5%

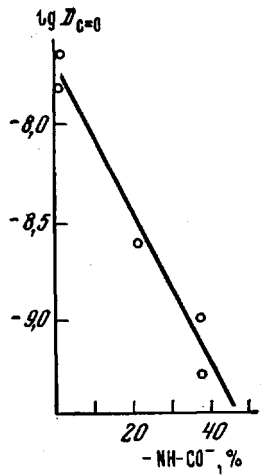


Рис. 3

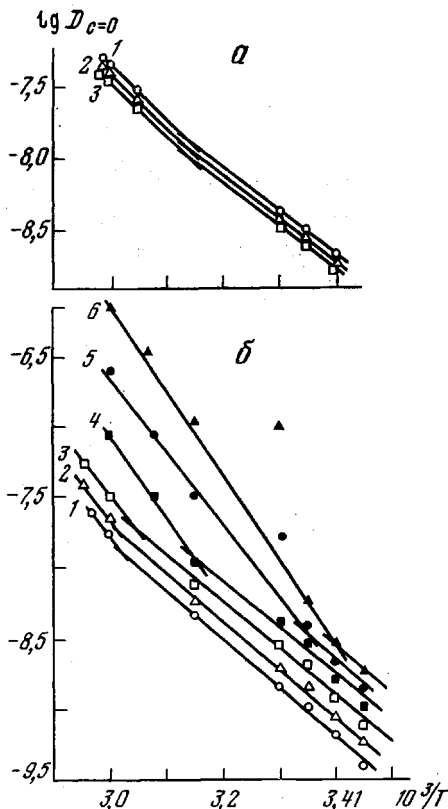


Рис. 4

выше α -перехода в осуществлении элементарного диффузионного акта участвуют отрезки цепи большей длины, освобожденные от ограничений, наложенных существованием водородных связей.

Изотермы сорбции воды полiamидами представлены на рис. 5. Как и следовало ожидать, полiamиды по своей сорбционной емкости занимают промежуточное положение между коллагеном [8] и полиэтиленом [9]. При этом наименьшей сорбционной емкостью характеризуется ПА-12. По соотношению гидрофильных участков в мономерном звене ПА-6 оказывается немного более гидрофильным, чем ПА-548 (табл. 1), однако сорбционная емкость последнего существенно выше. Этот факт объясняется гораздо более низкой степенью кристалличности ПА-548.

При рассмотрении изотерм сорбции воды полiamидами различного строения основной интерес представляет вопрос о механизме поглощения влаги и ее распределения в матрице. С этой целью проведен анализ экспериментальных данных на основе теории Цимма — Лундберга. Функцию кластеризации G_{11}/V_1 и размеры кластеров $\phi_1 G_{11}/V_1 + 1$ рассчитывали по

уравнениям [10]

$$G_{11}/V_1 = -(1-\varphi_1) [\partial(a_1/\varphi_1)/\partial a_1]_{p, T} - 1 \quad (4)$$

$$\varphi_1(G_{11}/V_1) + 1 = (1-\varphi_1) (\partial \ln \varphi_1 / \partial \ln a_1)_{p, T}, \quad (5)$$

где V_1 — парциальный объем воды в полиамидах. Согласно теории величина G_{11}/V_1 характеризует интенсивность агрегирования молекул сорбата, начало которого соответствует значению $G_{11}/V_1 = -1$. Дальнейшее возрастание $G_{11}/V_1 > -1$ свидетельствует о преимущественном взаимодействии сорбированных молекул и росте размеров кластеров, о величине которых в первом приближении судят по параметру $\varphi_1(G_{11}/V_1) + 1$.

Из представленных на рис. 6 данных видно, что начало процесса кластерообразования молекул воды лежит соответственно при $\varphi_1 \cdot 10^2 = 0,75, 1,9$

Рис. 5. Изотермы сорбции паров воды полиамидами: 1 — коллаген [2]; 2 — ПА-548, 3 — ПА-6, 4 — ПА-12, 5 — полиэтилен [9] при 25°

Рис. 6. Зависимость функции кластерообразования (а) и среднего размера кластеров (б) от объемной доли сорбированной воды полиамидами: 1 — полиэтилен [9], 2 — ПА-12, 3 — ПА-6, 4 — ПА-548 при 25°

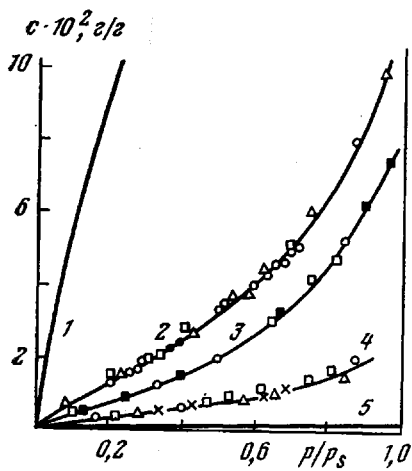


Рис. 5

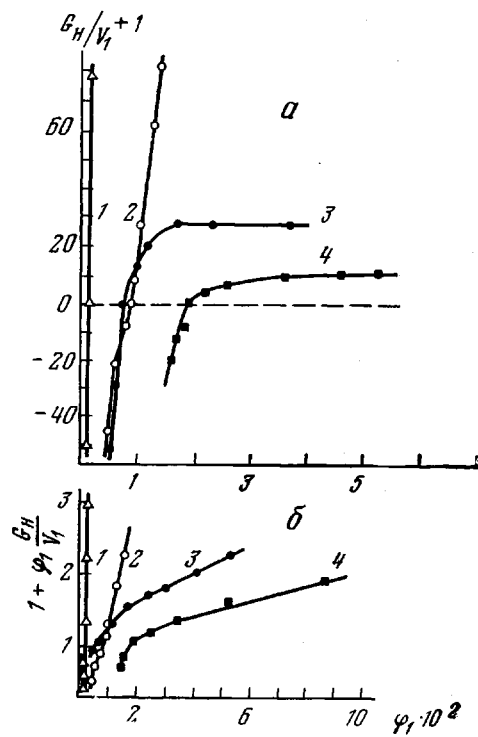


Рис. 6

и 0,83 для ПА-6, ПА-548, ПА-12. Для сравнения на том же рисунке приведены зависимости G_{11}/V_1 и $\varphi_1 G_{11}/V_1$ от φ_1 для полиэтилена. В случае полиэтилена кластерообразование начинается уже при $\varphi_1 = 1,1 \cdot 10^{-3}$ ($a_1 = 0,7$). Для ПА-12 функция G_{11}/V_1 при $a_1 \geq 0,56$ достигает достаточно больших величин $G_{11}/V_1 \approx 200$, что характеризует значительную интенсивность кластерообразования. Заметим, что в этой области составов системы начинается уменьшение коэффициента диффузии с содержанием сорбата. Тенденция воды к кластерообразованию в ПА-6 и ПА-548 ниже, чем в ПА-12 и полиэтилене даже в области высоких активностей паров. Начало кластерообразования в ПА-6 при малых φ_1 связано, по-видимому, с более высокой кристалличностью этого полимера. Рост размера кластеров (рис. 6, б) наиболее ярко выражен для полиэтилена и ПА-12 и снижается по мере повышения гидрофильности полимеров.

Таким образом, результаты настоящего исследования убедительно показывают различие в диффузионно-сорбционных характеристиках поли-

амидов различного строения и позволяют дать количественную оценку этим различиям, которое в конечном счете оказывается обусловленным относительным содержанием амидных групп в цепи и эффектом кристаллизации регулярно построенных полiamидов.

Институт физической химии АН СССР
Московский технологический институт
легкой промышленности

Поступила в редакцию
5 IX 1978

ЛИТЕРАТУРА

1. *B. B. Коршак, T. M. Фрунзе*, Синтетические гетероцепные полiamиды, Изд-во АН СССР, 1962, стр. 519.
2. *A. M. Михайлов*, Коллаген кожного покрова и основы его переработки, «Легкая индустрия», 1971, стр. 549.
3. *K. Роджерс*, В сб. Проблемы физики и химии твердого состояния органических веществ, «Мир», 1968, стр. 229.
4. *Diffusion in polymer*, Ed. J. Crank, G. S. Park, London, New York, 1968.
5. *H. Fudjita, A. Kishimoto, K. Matsuto*, Trans. Faraday Soc., 56, 424, 1960.
6. *C. A. Рейтлингер*, Проницаемость полимерных материалов, «Химия», 1974, стр. 17.
7. *M. Mozisec*, Kautschuk und Gummi, Kunststoffe, 6, 329, 1976.
8. *T. Asada, K. Inoye, S. Onogi*, Polymer J., 8, 21, 1976.
9. *A. Э. Крейтус, А. Я. Метра, И. П. Брандс, М. П. Бриеде*, Сб. Модифицирование полимерных материалов, Рига, 1975, вып. 5, стр. 16.
10. *B. H. Zimm, J. Lundberg*, J. Phys. Chem., 60, 425, 1956.

УДК 541.64:547 (569+462)

О ПРОДУКТАХ РЕАКЦИИ НУКЛЕОФИЛЬНОГО ПОЛИПРИСОЕДИНЕНИЯ ДИТИОФЕНОЛОВ С бис-МАЛЕИНИМИДАМИ

Сергеев В. А., Неделькин В. И., Арутюнян С. С.

В последние годы интенсивно развиваются исследования в области серосодержащих полиариленов, в том числе содержащих концевые тиольные группы [1]. Также значительное внимание уделяется полимерам, получаемым миграционной полимеризацией бис-малеинимидов с различными нуклеофильными агентами, например гликолями, диаминами, алифатическими дитиолами и т. п. [2]. Однако в литературе нет сведений о реакции ароматических дитиофенолов с бис-малеинимидами. В этой связи нам казалось целесообразным исследовать реакцию бис-малеинимидов с дитиофенолами различного строения с целью получения новых серосодержащих полиариленов с имидными блоками в основной цепи.

С целью изучения особенностей реакции нуклеофильного присоединения тиольной группы, связанной с ароматическим ядром, к двойной связи малеинимида была выбрана реакция тиофенола с N-фенилмалеинимидом, осуществленная ранее в расплаве исходных компонентов [3]. Исследование этой реакции показало, что она легко протекает при комнатной температуре в растворе полярных органических растворителей, таких, как трикрезол и ДМФ. При проведении реакции в растворе трикрезола при температуре 20° в течение 2 час. выход образующегося тиофенил-N-фенилсукцинимида составляет 85,0% от теоретич. Трикрезол, являясь протонодонорным растворителем, препятствует анионной полимеризации двойных связей малеинимида, инициируемой карбанионом, образующимся при присоединении тиольной группы к ненасыщенной связи имида [4]. При проведении же реакции в растворе в ДМФ роль донора протонов выполняет специально вводимая для этой цели уксусная кислота в количестве 10 вес.% от ДМФ.

В найденных таким образом оптимальных условиях была проведена не описанная ранее реакция присоединения тиофенола к N,N'-(4,4'-ди-